

Received: May 15, 2021

Revised: Oct 15, 2021

Accepted: Oct 20, 2021

## The effect of eight weeks of moderate and high intensity resistance training on miR-23a, Atrogin-1 and MuRF gene expression in fast and slow twitch muscles in Wistar older rats

Zohreh Shanazari<sup>1</sup>, Mohammad Faramarzi<sup>2</sup>, Mohammad Reza Kordi<sup>3\*</sup>

1. PhD Student in Exercise Physiology, Sport Sciences Research Institute Research Opportunity Student, Tehran, Iran.

2. Professor of Department of Exercise Physiology, Faculty of Sport Sciences, University of Isfahan, Isfahan, Iran.

3. Professor of Department of Exercise Physiology, Faculty of Physical Education and Sport Sciences, University of Tehran, Tehran, Iran.

### Abstract

**Background and Aim:** Muscle atrophy is an active process controlled by specific signaling pathways and transcriptional programs. Atrogin-1/MAFbx and MuRF1 are up-regulated in different models of muscle atrophy and is responsible for increased protein degradation through the ubiquitin proteasome pathway. The purpose of this study was to investigate the effect of moderate and high intensity resistance training on miR-23a, Atrogin-1 and MuRF gene expression in fast and slow twitch muscles in elderly rats. **Materials and Methods:** Thirty male Wistar rats (23 months old) were randomly divided into three groups ( $n=10$ ) including moderate-intensity resistance training, high-intensity resistance training and the control groups. Resistance training were performed during eight weeks of climbing a ladder with high intensity (80% Maximum voluntary carrying capacity/MVCC) and moderate intensity (60% of MVCC) for 5 days a week. Isolation of Soleus muscle and Flexor hallucis longus (FHL) was performed immediately after blood sampling in sterile conditions. MiR-23a, Atrogin-1 and MuRF expression were measured by RT-PCR method in Soleus and FHL muscles. The statistical analysis was performed by One-way & Two-way ANOVA tests with significance level of  $p<0.05$ . **Results:** The results showed that the expression of MuRF and Atrogin-1 genes in both resistance groups were significantly lower than those the control group and miR-23a expression expression in both high and moderate resistance groups was significantly higher than the control group ( $p<0.05$ ). But there was no significant difference between the effect of high and moderate intensity resistance training on miR-23a, MuRF, and Atrogin-1 expression in both muscles ( $p>0.05$ ). **Conclusion:** It seems that resistance training with moderate and high-intensity can decrease the resting levels and gene expression of factors associated with muscular atrophy (miR-23a) and its target genes (Atrogin-1, MuRF) in older rats, and these exercises could lead to the prevention of sarcopenia.

**Keywords:** Resistance training, miR-23a gene, Atrogin-1 gene, MuRF gene, Aging.

### Cite this article:

Shanazari, Z., Faramarzi, M., & Kordi, M.R. (2022). The effect of eight weeks of moderate and high intensity resistance training on miR-23a, Atrogin-1 and MuRF gene expression in fast and slow twitch muscles in Wistar older rats. *Journal of Practical Studies of Biosciences in Sport*, 10(24), 42-52.

\* Corresponding Author, Address: Faculty of Physical Education and Sport Sciences, University of Tehran, Amir Abad Shomali, Tehran, Iran;  
E-mail: mrkordi@ut.ac.ir

doi <https://doi.org/10.22077/jpsbs.2021.4339.1639>



Copyright: © 2022 by the authors. Licensee Journal of Practical Studies of Biosciences in Sport (JPSBS). This article is an open access article distributed under the terms and conditions of the Creative Commons Attribution (CC BY) license (<https://creativecommons.org/licenses/by/4.0/>).

## اثر هشت هفته تمرين مقاومتی با شدت‌های بالا و متوسط بر بیان ژن‌های MuRF و miRNA-23a آتروزین-۱ در عضلات تند و کند انقباض رت‌های نر سالمند نژاد ویستار

زهره شانظری<sup>۱</sup>، محمد فرامرزی<sup>۲</sup>، محمدرضا کردی<sup>۳</sup>

۱. دانشجوی دکترای فیزیولوژی ورزشی، فرصت مطالعاتی پژوهشگاه علوم ورزشی، تهران، ایران.
۲. استاد گروه فیزیولوژی ورزشی، دانشکده علوم ورزشی، دانشگاه اصفهان، اصفهان، ایران.
۳. استاد گروه فیزیولوژی ورزشی، دانشکده تربیت بدنی و علوم ورزشی، دانشگاه تهران، تهران، ایران.

### چکیده

**زمینه و هدف:** آتروفی عضلانی یک فرآیند فعال کنترل شده بوسیله مسیرهای پیامرسانی و برنامه‌های رونویسی ویژه است. آتروزین-۱/MuRF1 و MAFbx در مدل‌های مختلف آتروفی عضلانی، به طور مثبت تنظیم می‌شوند و مسئول افزایش تجزیه پروتئین از طریق سیستم پروتئازوم یوبیکوئیتین هستند. هدف از این مطالعه بررسی تاثیر یک دوره تمرين مقاومتی با شدت‌های بالا و متوسط بر بیان ژن‌های ژن‌های MuRF، miRNA-23a و آتروزین-۱ در عضلات تند و کند انقباض رت‌های نر سالمند نژاد ویستار بود. **روش تحقیق:** در این تحقیق ۳۰ سرموش صحرایی سالمند (۲۳ ماهه) نژاد ویستار به شکل تصادفی به سه گروه ( $n=10$ ) شامل تمرين مقاومتی با شدت متوسط (MIRT)، تمرين مقاومتی با شدت بالا (HIRT) و کنترل تقسیم شدند. برنامه تمرين مقاومتی شامل هشت هفته تمرين بالا رفتن از نرdban با شدت زیاد و متوسط (به ترتیب با ۸۰ و ۶۰ درصد حداکثر ظرفیت حمل ارادی) و با تکرار پنج روز در هفته بود. جداسازی عضله نعلی و عضله خم کننده دراز شست پا بلافضله بعد از خونگیری در شرایط استریل انجام شد. بیان ژن MuRF، آتروزین-۱ و miR-23a با تکنیک RT-PCR اندازه‌گیری شد. تجزیه تحلیل آماری با استفاده از آزمون تحلیل واریانس یک طرفه و دو طرفه در سطح معنی‌داری  $p<0.05$  صورت گرفت. **یافته‌ها:** بیان ژن‌های MuRF و آتروزین-۱ پس از هشت هفته در دو گروه مقاومتی نسبت به گروه کنترل کاهش معنی‌دار و بیان miR-23a افزایش معنی‌داری پیدا کرد ( $p<0.05$ )؛ اما اختلاف تأثیر دو مداخله صورت گرفته بر miR-23a، MuRF و آتروزین-۱ در هر دو عضله معنی‌دار نبود ( $p>0.05$ ). **نتیجه‌گیری:** به نظر می‌رسد تمرين مقاومتی با شدت‌های متوسط و بالا، می‌تواند باعث کاهش سطوح استراحتی عوامل مرتبط با آتروفی عضلانی و ژن‌های هدف آن در رت‌های سالمند شود و پیشرفت سارکوپنیا در دوره سالمندی را مهار نماید.

**واژه‌های کلیدی:** تمرين مقاومتی، ژن MuRF، ژن آتروزین-۱، سالمندی.

نسبت به الیاف گلیکولیتیک نوع II، در برابر محرومیت از غذا بیشتر مقاومت می‌کنند. در مقابل، تارهای نوع I نسبت به عدم تحرك، حذف جاذبه و آتروفی ناشی از قطع عصب؛ حساسیت بیشتری دارند، در حالی که الیاف نوع II در برابر سالمندی آسیب‌پذیرتر هستند (میلچکوویک و دیگران، ۲۰۱۵). گزارش شده که FOXO1 مرتبط با آتروفی عضلانی در درجه اول، تارهای تن انقباضا را تحت تاثیر قرار می‌دهد (وانگ و پسین، ۲۰۱۳). اولویت FOXO1 تار نوع II ممکن است به MuRF-1 عضله ارتباط داشته باشد (رید<sup>۱۴</sup> و دیگران، ۲۰۱۲)، و نشان داده شده که آتروفی عضلانی در MuRF-1 موش‌های حذف شده، کاهش می‌یابد (موریسکات<sup>۱۵</sup> و دیگران، ۲۰۱۰). با این حال، نظرات متفاوضی در مورد کنترل نوع تار خاص FOXO1 وجود دارد (وانگ و پسین، ۲۰۱۳).

به تازگی، مشخص شده است که miR-23a ترجمه MAFbx<sup>۷</sup> و FBXO32<sup>۸</sup> نیز شناخته می‌شوند) می‌باشد (پری<sup>۹</sup> و دیگران، ۲۰۱۶؛ بودین و دیگران، ۲۰۰۱) که برای آتروفی عضلانی در طیف گسترده‌ای از شرایط استرس، از جمله عضله و سالمندی، ضروری هستند. در این شرایط استرسی، گیرنده گلوکوکورتیکوئید و عامل رونویسی FOXO<sup>۱۰</sup> را فعال می‌کنند؛ در نتیجه بیان پروتئین‌های MuRF-1<sup>۱۱</sup> و MuRF-1<sup>۱۲</sup> MAFbx<sup>۱۳</sup> و آتروزین-۱<sup>۱۴</sup> (که به عنوان تقویت می‌کنند (ایبرت<sup>۹</sup> و دیگران، ۲۰۱۹).

تخریب پروتئین، ناشی از انواع حالت‌های پاتولوژیک مانند استفاده نکردن از اندام، کاهش بار روی اندام و سالمندی است (وانگ و پسین<sup>۱۵</sup>، ۲۰۱۳). علت آتروفی عضلانی وابسته به سن، یک فرآیند تخریب چند وجهی است که شامل آتروفی میوفیبریل‌های سریع (IIa و IIx) و کاهش تعداد کل میوفیبریل‌ها است (لوبین و دیگران، ۲۰۱۹).

شواهد محکمی وجود دارد که نشان می‌دهد با افزایش

سن، تارهای عضلانی نوع II نسبت به الیاف نوع I در برابر آتروفی، آسیب‌پذیرتر هستند (کرت<sup>۱۱</sup> و دیگران، ۲۰۱۶؛ ناریسی-مافلی<sup>۱۲</sup>، ۲۰۱۰).

به دلیل ویژگی‌های فیزیولوژیکی مشخص و فعالیت متابولیکی، زیر گروه‌های تارهای عضلانی اسکلتی به سیگنال‌های ویژه آتروفی پاتوفیزیولوژیک، حساسیت متفاوت دارند (میلچکوویک<sup>۱۳</sup> و دیگران، ۲۰۱۵؛ وانگ و پسین، ۲۰۱۳). به عنوان مثال، تارهای قرمزاکسیداتیو نوع I، سرعت سنتز و تجزیه پروتئین بیشتری دارند و

## مقدمه

عضله اسکلتی بافتی کاملاً سازگار است که ۳۰ تا ۴۰ درصد از کل توده بدن را شامل می‌شود و به طور قابل ملاحظه‌ای با افزایش سن به خطر می‌افتد. کاهش توده عضلانی در هر دهه تقریباً ۱۰ درصد است و با افزایش سن، سرعت بیشتری پیدا می‌کند (لوبین<sup>۱</sup> و دیگران، ۲۰۱۹). این کاهش پروتئین عضلانی مربوط به سن را باید به عدم تعادل بین سنتز پروتئین عضله و میزان تجزیه نسبت داد که منجر به تعادل منفی پروتئین عضله و با گذشت زمان، کاهش توده عضله اسکلتی می‌شود (برد<sup>۲</sup> و دیگران، ۲۰۱۳). انواع مختلفی از ژن‌ها که در مجموع آتروژن‌ها نامیده می‌شوند، در آتروفی عضلانی نقش دارند (بودین<sup>۳</sup> و دیگران، ۲۰۰۱). بر جسته‌ترین این آتروژن‌های عضلانی، احتمالاً دو لیگاز یوبیکوئیتین E3<sup>۴</sup> و آتروزین-۱<sup>۵</sup> (که به عنوان

MAFbx<sup>۶</sup> و FBXO32<sup>۷</sup> نیز شناخته می‌شوند) می‌باشد (پری<sup>۹</sup> و دیگران، ۲۰۱۶؛ بودین و دیگران، ۲۰۰۱) که برای آتروفی عضلانی در طیف گسترده‌ای از شرایط استرس، از جمله عضله و سالمندی، ضروری هستند. در این شرایط استرسی، گیرنده گلوکوکورتیکوئید و عامل رونویسی FOXO<sup>۱۰</sup> را فعال می‌کنند؛ در نتیجه بیان پروتئین‌های MuRF-1<sup>۱۱</sup> و MuRF-1<sup>۱۲</sup> MAFbx<sup>۱۳</sup> و آتروزین-۱<sup>۱۴</sup> (که به عنوان تقویت می‌کنند (ایبرت<sup>۹</sup> و دیگران، ۲۰۱۹).

تخریب پروتئین، ناشی از انواع حالت‌های پاتولوژیک مانند استفاده نکردن از اندام، کاهش بار روی اندام و سالمندی است (وانگ و پسین<sup>۱۵</sup>، ۲۰۱۳). علت آتروفی عضلانی وابسته به سن، یک فرآیند تخریب چند وجهی است که شامل آتروفی میوفیبریل‌های سریع (IIa و IIx) و کاهش تعداد کل میوفیبریل‌ها است (لوبین و دیگران، ۲۰۱۹).

شواهد محکمی وجود دارد که نشان می‌دهد با افزایش

سن، تارهای عضلانی نوع II نسبت به الیاف نوع I در برابر آتروفی، آسیب‌پذیرتر هستند (کرت<sup>۱۱</sup> و دیگران، ۲۰۱۶؛ ناریسی-مافلی<sup>۱۲</sup>، ۲۰۱۰).

1. Lavin

2. Burd

3. Bodine

4. E3 ubiquitin ligases

5. Muscle-specific ring finger-1

6. Atrogin-1

7. Muscle atrophy F-Box

8. Perry

9. Ebert

10. Wang & Pessin

11. Cartee

12. Narici-Maffulli

13. Miljkovic

14. Reed

15. Moriscot

16. Wada

17. Dexamethasone

18. Myostatin

مرتبط با آتروفی (آتروزین-۱ و MURF-1) و miR-23a عضلانی در افراد سالمند داشته باشند. از این رو، هدف اصلی مطالعه حاضر، بررسی تاثیر تمرين‌های مقاومتی با شدت بالا و متوسط بر بیان miR-23a، آتروزین-۱ و MuRF-1 در عضلات تن و کند انقباض رت‌های سالمند نژاد ویستار است.

#### روش تحقیق

در پژوهش حاضر، تعداد ۳۰ سر رت صحرایی نر نژاد ویستار با میانگین وزنی  $۴۳۸/۲ \pm ۳۷/۸$  گرم در سن ۲۳ ماهگی از موسسه پاستور ایران تهیه و در شرایط دمایی  $۲۲ \pm ۳$  درجه سانتی‌گراد در شرایط ۱۲ ساعت تاریکی و روشنایی و رطوبت نسبی  $۳۰$  تا  $۵۰$  درصد نگهداری گردیدند و با غذای مخصوص موش صحرایی و آب، تغذیه شدند. همچنین، همه آزمایش‌ها و مراحل بررسی، مطابق با موازین کمیته اخلاقی برای حیوانات آزمایشگاهی دانشگاه شهرکرد و مطابق با راهنمای مراقبت و استفاده حیوانات آزمایشگاهی انجام شد. بعد از گذشت یک هفته آشناسازی و سازگاری حیوانات با محیط آزمایشگاه، رت‌ها به صورت تصادفی بر اساس وزن اولیه، در دو گروه تمرينی (تمرين مقاومتی با شدت متوسط و تمرين مقاومتی با شدت بالا) و یک گروه کنترل قرار گرفتند (هر گروه ۱۰ سر موش). گروه کنترل تحت مداخله خاصی قرار نگرفت.

**پروتکل‌های تمرين مقاومتی:** به منظور آشناسازی با نحوه اجرای پروتکل‌های تمرينی، رت‌ها در هر دو گروه تمرين مقاومتی، پنج روز به صورت بدون وزنه تمرين بالا رفتن از نردهبان را به اجرا درآوردند. تمرين مقاومتی شامل بالا رفتن از یک نردهبان تمرينی مخصوص (به طول ۱۱۰ سانتی‌متر، شبیب  $۸۰$  درجه،  $۲۶$  پله با فضای دو سانتی‌متری بین پله‌ها) به اجرا درآمد (سینگولانی<sup>۱</sup> دیگران، ۲۰۱۷). پس از آخرین جلسه سازگاری، آزمون حداکثر ظرفیت حمل ارادی<sup>۲</sup> (MVCC) اندازه‌گیری شد، بدین صورت که وزنه ای معادل  $۷۵$  درصد وزن بدن حیوان به دم آن‌ها متصل شد و حیوان شروع به بالا رفتن از نردهبان کرد. سپس به ازای هر تکرار موفق،  $۳۰$  گرم به بار تمرينی تکرار شده قبلی اضافه شد. در بالای نردهبان، دو دقیقه استراحت بین هر صعود وجود داشت. این روش تا زمانی که رت موفق به صعود کل طول نردهبان طی سه تلاش متوالی نشود، تکرار گردید (دکاسیا<sup>۳</sup> و دیگران، ۲۰۱۷؛ لکسل<sup>۴</sup> و دیگران، ۱۹۸۸). سپس گروه‌های تمرينی مقاومتی به مدت پنج جلسه در هفته به مدت هشت هفته، پروتکل تمرينی (با شدت متوسط یا شدید) را انجام دادند.

تایید شده است (کرت و دیگران، ۲۰۱۶). با این حال، مکانیزم‌های مسئول تغییر در توده عضلات ناشی از این نوع تمرينات، به طور کامل روشن نشده و تا آنجا که ما بررسی کردیم، تاثیر شدت‌های متفاوت تمرينات مقاومتی بر بیان پروتئین‌های MuRF-1 و MAFbx در عضلات مختلف تن و کند انقباض در رت‌های سالمند بخوبی بررسی نشده است. برخی مطالعات، اثرات تمرين مقاومتی بر MuRF-1 و آتروزین-۱ را در مدل‌های حیوانی نشان داده‌اند. به عنوان نمونه، نشان داده شده است که تمرينات مقاومتی با کاهش بیان ژن آتروزین-۱ و MuRF1 در عضله پهن جانبی رت‌های نر سالمند، از آتروفی عضلاتی جلوگیری می‌کند (مرادی و دیگران، ۲۰۲۰). علاوه بر این، مطالعه‌ای در رت‌های سالمند گزارش کرده که تمرين مقاومتی بیان ژن ملکول‌های مرتبط با اندازه تار رت‌های سالمند را تنظیم می‌کند (ریبیرو<sup>۵</sup> و دیگران، ۲۰۱۷). این محققین دریافتند که این پاسخ‌ها، با کاهش کاتابولیک FOXO-1 (آتروزین-۱ و MuRF-1) درون سلولی در عضلات رت‌های سالمند تمرين کرده همراه است.

به طور کلی، اگر چه مطالعه‌های قبلی در مورد اثرات تمرين مقاومتی بر بیان ژن مربوط با آتروفی نشان دهنده کاهش مقادیر این ژن‌ها در عضلات آزمودنی‌های سالمند می‌باشد، با این حال، اطلاعات کمی در مورد مکانیسم‌های وجود دارد که به موجب آن تمرين مقاومتی باعث این تغییر می‌شود. از طرف دیگر، چندین مطالعات دیگری مبنی بر اثرات مختلف تمرين مقاومتی شدید بر پاسخ و سازگاری عضلات وجود دارد. به عنوان مثال، تاناكا و دیگران (تاناكا<sup>۶</sup> و دیگران، ۲۰۱۵) تاثیر شدت تمرين مقاومتی معادل  $۵۰$  و  $۷۰$  درصد از حداکثر وزنه بلند شده را بر عضله اسکلتی آتروفی شده در رت‌های صحرایی بررسی کرده و گزارش کرده‌اند که بیان mRNA مربوط به MuRF-1 در عضلات پس از تمرين با شدت  $۷۰$  درصد نسبت به وضعیت بدون تمرين، به طور قابل توجهی پایین‌تر است. به نظر می‌رسد که شدت تمرين مقاومتی ممکن است در پاسخ به تمرين موثر باشد. از طرف دیگر، تاثیر این مداخله‌ها بر نوع تار عضلاتی در رت‌های سالمند کمتر مورد بررسی قرار گرفته است. بنابراین، یکی از نکات مهم در انتخاب مداخله‌های تمرين مقاومتی موثر در افراد سالمند در معرض آتروفی عضلاتی، انتخاب شدت تمرينی مناسب می‌باشد. بر اساس فرضیه ما در این مطالعه، به نظر می‌رسد شدت‌های متفاوت تمرين مقاومتی بتوانند تاثیر متفاوتی بر بیان ژن‌های

در پی شستشو و سانتریفیوژ، RNA‌ها به فیرهای دو لایه موجود در تیوب‌ها متصل گردیدند. در نهایت با فر نمکی اسید نوکلئوتیدهای باقی مانده در فیرها شستشو داده شد تا RNA سالم استخراج گردد.

رونویسی معکوس، سنتز cDNA و RT-PCR سنتز cDNA برای SNORD47 و miRNA به عنوان هاووس کیپینگ<sup>۱</sup> آن به صورت اختصاصی و با استفاده از کیت اختصاصی شرکت زیست رویش به روش ساقه- حلقه<sup>۷</sup> انجام شد. cDNA‌های سنتز شده با استفاده از ترکیبات و طبق دستورالعمل کیت جهت واکنش RT-PCR آماده گردیدند. پس از اتمام تقسیم بندی هر نمونه به درون دستگاه RT-PCR، فرآیند سنجش آغاز شد. کلیه اندازه‌گیری‌ها دو بار بر روی هر نمونه انجام گرفت. فرآیند RT-PCR با استفاده از نرم افزار Q Rotor-gene Cobbett انجام شد. پروتکل Real time PCR برای اندازه‌گیری عوامل بر مبنای روش سایبرگرین<sup>۸</sup> شامل ۱۵ دقیقه و با دمای ۹۵ درجه سانتی‌گراد، ۴۰ سیکل مشتمل بر ۱۵ ثانیه (۹۵ درجه سانتی‌گراد)، ۶۰ ثانیه (۵۷ درجه سانتی‌گراد)، ۳۰ ثانیه (۷۲ درجه سانتی‌گراد) و در نهایت، مرحله ذوب شدن<sup>۹</sup> در دمای ۵۷-۹۵ درجه سانتی‌گراد بود. برای تعیین سطح نسبی mRNA ژن MuRF و آتروژین-۱ به روش RT-PCR نیمه کمی و با استفاده از کیت Norgen کانادا با شماره تولید ۲۸۳۲۳ و براساس دستورالعمل کارخانه مربوطه استفاده شد (جدول ۲). پس از اتمام فرآیند و به دست آمدن چرخه‌های آستانه (ct)، سنجش بیان متغیرهای مورد نظر با استفاده از محاسبه ریاضیاتی  $\Delta\Delta C_t$  صورت گرفت.

با توجه به سازگاری حیوانات با تمرین در انتهای هر چهار هفته، آزمون MVCC گرفته شد و شدت تمرین حیوانات بر اساس داده‌های جدید، تعیین گردید (ماکدو<sup>۱</sup> و دیگران، ۲۰۱۴؛ کروگ<sup>۲</sup> و دیگران، ۲۰۱۶). تمرین مقاومتی با شدت متوسط (MIRT) با ۶۰ درصد و تمرین مقاومتی با شدت بالا (HIRT) با ۸۰ درصد MVCC به اجرا در آمدند؛ بدین صورت که رت‌ها ۱۴ تا ۲۰ (تمرین مقاومتی متوسط) و ۹ تا ۱۰ (تمرین مقاومتی شدید) بار از نردهبان صعود کردند و بین هر صعود، یک دقیقه استراحت داشتند (ماکدو و دیگران، ۲۰۱۴؛ کروگ و دیگران، ۲۰۱۶).

نحوه استخراج بافت: با رعایت مسائل اخلاقی، ۷۲ ساعت پس از پایان آخرین جلسه تمرین، بعد از بی هوشی کامل، عضله خم کننده دراز شست<sup>۱۰</sup> (تند انقباض) و نعلی<sup>۱۱</sup> (کند انقباض) رت‌ها در شرایط استریل خارج شد و با نیتروژن مایع فریز گردید و تا شروع هموژن کردن بافت‌ها، همه آن‌ها در دمای -۸۰ درجه سانتی‌گراد نگهداری شدند.

نحوه استخراج RNA: استخراج RNA به وسیله دو کیت ۵۰ ری اکشن<sup>۱۲</sup> استخراج RNA ساخت شرکت Roche آلمان با شماره کاتالوگ Cat. No:CK-12033674001 و طبق دستورالعمل کیت، صورت گرفت. نحوه عملکرد کیت بدین صورت بود که ابتدا نمونه‌های بافت توسط یک بافر دناتور کننده حاوی جوهر نمکی گواندین، شکسته و یکنواخت شد، تا به طور آنی RNase غیرفعال شود و اطمینان حاصل شد که RNA سالم جدا می‌شود. بعد از اضافه کردن اتانول، به RNA به الیاف قرار گرفته در میکروتیوب‌ها متصل شد و DNA‌های موجود به وسیله DNase از بین رفت. طی دوره‌های پی

جدول ۱. برایمراهای استفاده شده RT-PCR

اسمی پرایم‌ها	توالی
miR-23a	CCGCTCGAGTTGATCAAAGGAAGCATCTGG
MuRF	Forward: 5'-AGCGACCTCAGCAGTTACTG-3' Reverse: 5'-ATCCATGGCGCTCCTTAGTAC-3'
Atrogin-1	Forward: 5'-GAACACATAGCAGAGGCCCTG-3' Reverse: 5'-GTTCTTCATTGGTGTCCTCTG-3'
β-Actin	Forward: 5'-CTATGAGGGTTACCGCGCTCC-3' Reverse: 5'-ATGTCACGCACGATTCCCT-3'

منظور بررسی تغییرات بیان ژن درون عضله در هر گروه، از آزمون ANOVA یک راهه و برای بررسی تغییرات بیان ژن درون عضله در گروه‌های مختلف، از آزمون ANOVA دو راهه (شدت تمرین \* نوع عضله) بهره برداری گردید. در صورت معنی دار شدن تفاوت بین گروه‌ها، آزمون تعییبی

روش‌های آماری: جهت بررسی طبیعی بودن توزیع داده‌ها از آزمون کولموگروف - اسمیرنوف<sup>۱۲</sup> و جهت بررسی همگنی واریانس‌ها، از آزمون لون<sup>۱۳</sup> استفاده شد. برای مقایسه وزن و MVCC از آزمون تحلیل واریانس (ANOVA) دو راهه (طرح زمان در گروه) استفاده شد. از طرف دیگر، به

- 1. Macedo
- 2. Krug
- 3. Flexor hallucis longus muscle
- 4. Soleus

- 5. Reaction
- 6. House keeping
- 7. Stem-loop
- 8. SYBR green

- 9. Melting
- 10. Kolmogorov-Smirnov
- 11. levene

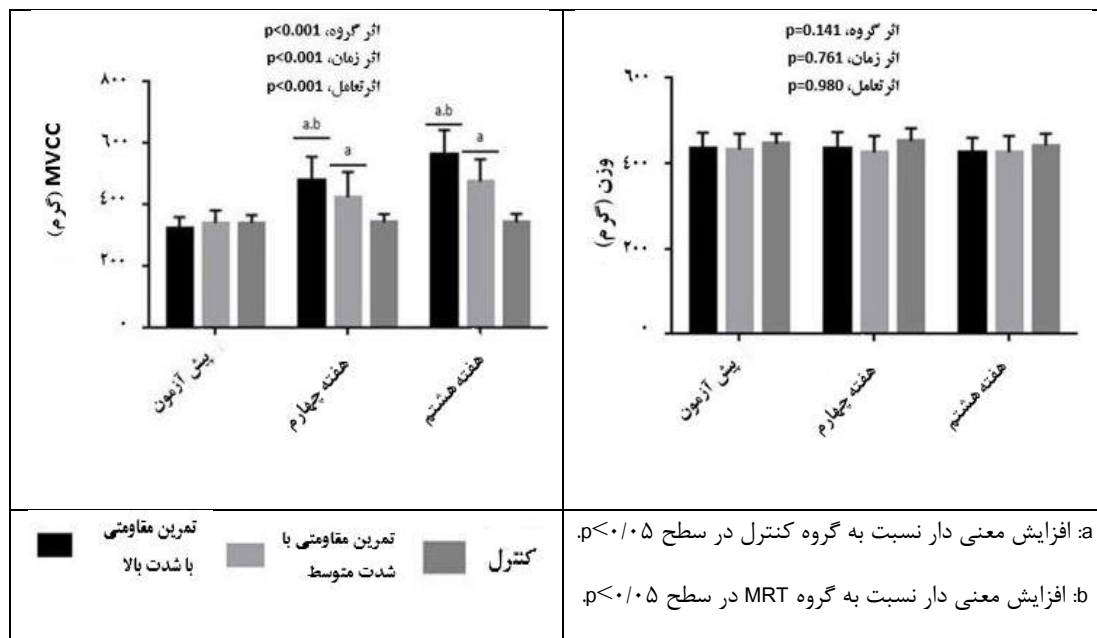
بونفرونی<sup>۱</sup> برای مقایسه‌های زوجی بکار گرفته شد. تحلیل آماری با نرم‌افزار SPSS 25 صورت گرفت و سطح معنی‌داری در کلیه موارد  $p < 0.05$  در نظر گرفته شد.

**یافته‌ها**

میانگین و انحراف استاندارد وزن و MVCC در جدول ۲ گزارش شده است. نتایج تحلیل آماری داده‌ها نشان داد که اثر گروه (F=۲/۰۱ p=۰/۱۴) و اثر زمان (F=۲/۰۱ p=۰/۷۶) در مقایسه با گروه کنترل (هر دو با  $p < 0.05$ )، و در گروه HIRT در مقایسه با گروه MIRT افزایش معنی‌داری (p=۰/۰۲) در هفته هشتم پیدا کرده است (شکل ۱).

جدول ۲. توصیف (میانگین ± انحراف استاندارد) وزن و شاخص MVCC گروه‌های شرکت‌کننده

شاخص‌ها	گروه‌ها	بیش آزمون	هفته چهارم	هفتنه هشتم
وزن (گرم)	HIRT	۴۳۴/۱۲ ± ۳۷/۸۰	۴۲۴/۳۷ ± ۳۹/۲۸	۴۲۴/۶۲ ± ۳۵/۰۶
	MIRT	۴۳۲/۰۰ ± ۳۷/۹۳	۴۲۵/۲۲ ± ۳۸/۹۳	۴۲۶/۰۰ ± ۳۸/۷۵
	کنترل	۴۴۵/۵۰ ± ۲۴/۰۷	۴۵۲/۰۰ ± ۳۰/۹۳	۴۴۱/۸۷ ± ۲۷/۹۵
	HIRT	۳۲۵/۰۰ ± ۳۵/۴۵	۴۸۱/۵۰ ± ۷۵/۰۳	۵۶۳/۵۰ ± ۷۹/۶۹
	MIRT	۴۳۰/۸۹ ± ۴۱/۶۴	۴۲۵/۲۲ ± ۸۱/۹۹	۴۷۴/۷۷ ± ۷۳/۶۶
	کنترل	۳۴۰/۷۵ ± ۲۶/۱۹	۳۴۳/۰۰ ± ۲۷/۶۴	۳۴۳/۲۵ ± ۲۸/۴۷
(گرم) MVCC				

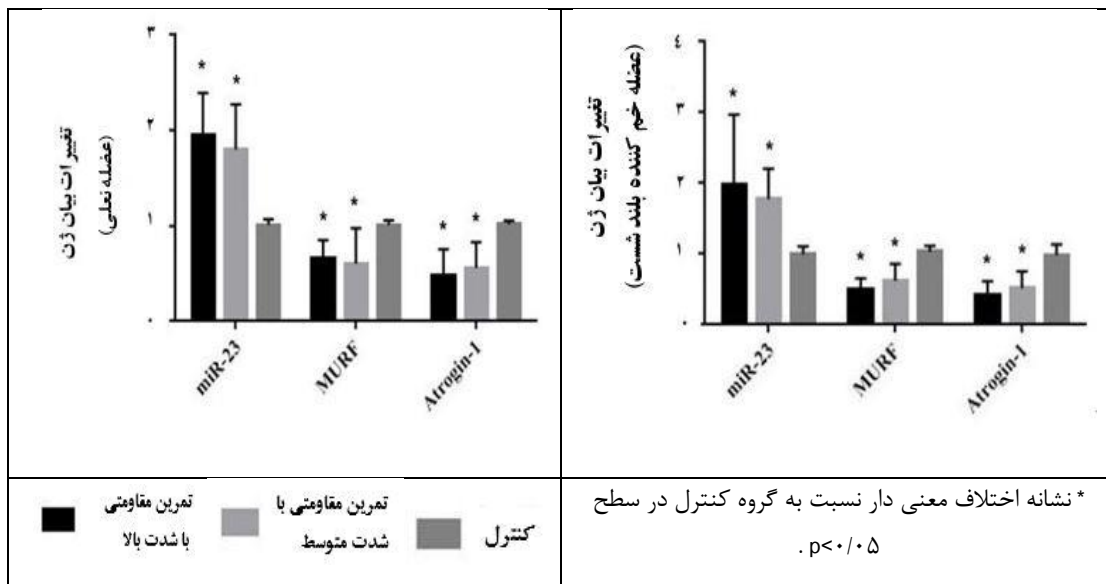


شکل ۱. مقایسه وزن و MVCC گروه‌های مختلف پس از مداخله

(شکل ۲).

یافته‌ها در مورد عضله FHL نشان داد که بیان زن miR-23 (F=۰/۰۰۹,  $p=۰/۰۰۱$ ,  $\eta^2=۰/۰۲۸$ ) و آتروژین-۱ (F=۰/۰۴۳,  $p=۰/۰۰۱$ ,  $\eta^2=۰/۰۲۰$ ) بیان زن miR-23 (F=۰/۰۴۵,  $p=۰/۰۰۱$ )، و آتروژین-۱ (F=۰/۰۴۳,  $p=۰/۰۰۱$ ,  $\eta^2=۰/۰۲۰$ ) بیان زن miR-23 (F=۰/۰۲۰,  $p=۰/۰۰۱$ ,  $\eta^2=۰/۰۱۸$ )، بین گروه‌ها تفاوت معنی‌داری دارد. پس از انجام آزمون تعقیبی مشخص گردید که بیان زن miR-23 (p=۰/۰۰۴) و MIRT (p=۰/۰۰۱) معنی‌داری در گروه‌های HIRT (p=۰/۰۰۱) و MIRT (p=۰/۰۰۱) نداشته‌اند. اما بیان زن miR-23 (p=۰/۰۰۱) در مقایسه با گروه کنترل افزایش یافته است. بیان زن miR-23 (p=۰/۰۰۱) در مقایسه با گروه کنترل افزایش یافته است. بیان زن miR-23 (p=۰/۰۰۱) نیز به طور معنی‌داری در گروه‌های HIRT (p=۰/۰۰۱) و MIRT (p=۰/۰۰۱) نیز به طور معنی‌داری در گروه‌های HIRT (p=۰/۰۰۱) و MIRT (p=۰/۰۰۱) نیز به طور معنی‌داری در گروه کنترل کاهش یافت (شکل ۲).

تفییرات بیان زن (مقایسه تفکیکی عضلات): نتایج مربوط به عضله نعلی نشان داد که بیان زن miR-23 (F=۰/۰۴۲,  $p=۰/۰۰۱$ ,  $\eta^2=۰/۰۲۷$ ) MuRF (F=۰/۰۳۵,  $p=۰/۰۰۷$ ,  $\eta^2=۰/۰۲۷$ ) و آتروژین-۱ (F=۰/۰۴۰,  $p=۰/۰۰۱$ ,  $\eta^2=۰/۰۲۸$ ) بین گروه‌ها تفاوت معنی‌داری دارد. آزمون تعقیبی بونفرونی مشخص کرد که بیان زن miR-23 به طور معنی‌داری در گروه کنترل HIRT (p=۰/۰۰۱) و MIRT (p=۰/۰۰۱) نسبت به گروه کنترل MuRF به طور معنی‌داری در گروه‌های HIRT (p=۰/۰۰۳) و MIRT (p=۰/۰۰۹) نیز به طور معنی‌داری در گروه کنترل کاهش یافت. بیان زن آتروژین-۱ در مقایسه با گروه کنترل کاهش یافت. بیان زن آتروژین-۱ نیز به طور معنی‌داری در گروه‌های HIRT (p=۰/۰۰۱) و MIRT (p=۰/۰۰۱) نیز به طور معنی‌داری در گروه کنترل کاهش پیدا کرد.



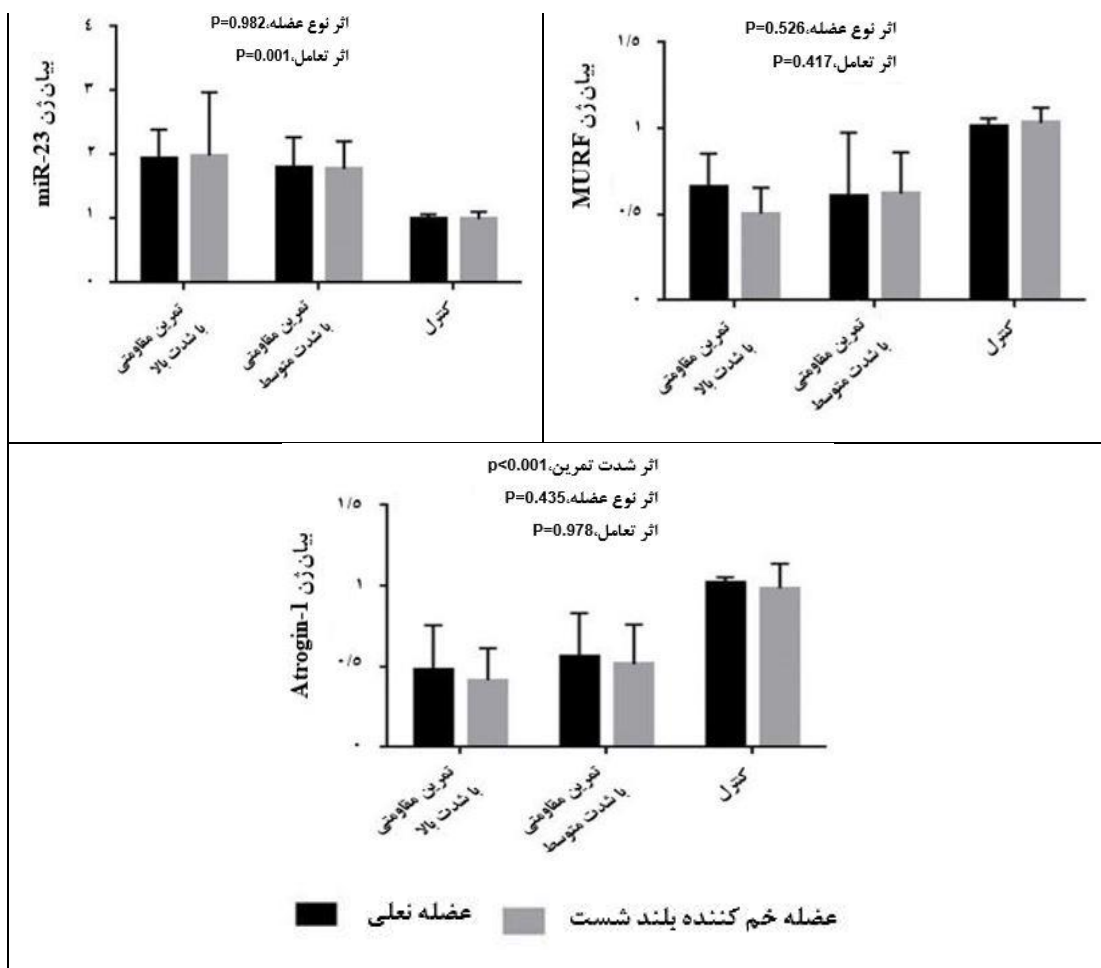
شکل ۲. مقایسه بیان زن miR-23، MuRF و آتروژین-۱ به تفکیک عضلات نعلی و خم کننده بلند شست در گروه‌های مختلف پس از مداخله

### بحث

نتایج پژوهش حاضر نشان داد که بیان miR-23 پس از هشت هفته تمرین مقاومتی با دو شدت بالا و متوسط در هر دو عضلات اسکلتی کند و تند انقباض (مستقل از نوع تند یا کند بودن عضله) افزایش می‌یابد. همچنین بیان زن‌های miR-23 و آتروژین-۱ پس از این تمرینات کاهش یافت و این تغییر در دو عضله نعلی و FHL تفاوت معنی‌داری نداشت.

طبق نتایج تحقیقات، یکی از تغییرات عمده در سارکوپنیا آسیب پذیری بیشتر تارهای FT نسبت به ST و کاهش در اندازه هر دو نوع تار می‌باشد؛ با این حال کاهش تارهای نوع FT در مقایسه با تارهای نوع ST همراه با افزایش سن و سارکوپنیا، شدیدتر است (قدیمی ایلخانلار و دیگران، ۲۰۱۵). این پذیره احتمالاً مربوط به عصب کشی تدریجی الیاف نوع II است که در طی سالمندی

تفییرات بیان زن (مقایسه بین عضلات): بعد از مقایسه‌های بین عضلانی و با استفاده از آزمون تحلیل واریانس دو راهه (شدت تمرین\*نوع عضله) برای miR-23، اثر شدت ورزش معنی‌دار (F=۰/۰۴۳,  $p=۰/۰۰۱$ ,  $\eta^2=۰/۰۲۸$ ) بود؛ اما تاثیر نوع عضله (F=۰/۰۰۱,  $p=۰/۰۹۸$ ,  $\eta^2=۰/۰۰۰۱$ ) و اثر متقابل (F=۰/۰۰۲,  $p=۰/۰۹۸$ ,  $\eta^2=۰/۰۰۰۲$ ) آن ها معنی‌دار نبود. همچنین برای MuRF اثر شدت تمرین (F=۰/۰۰۱,  $p=۰/۰۴۹$ ,  $\eta^2=۰/۰۰۱$ ) معنی‌دار بود، اما اثر نوع عضله (F=۰/۰۳۱,  $p=۰/۰۰۱$ ,  $\eta^2=۰/۰۰۴$ ) و اثر متقابل آن ها (F=۰/۰۴۱,  $p=۰/۰۵۲$ ,  $\eta^2=۰/۰۰۴$ ) آن ها معنی‌دار نبود. برای شاخص آتروژین-۱ اثر شدت تمرین (F=۰/۰۰۱,  $p=۰/۰۵۸$ ,  $\eta^2=۰/۰۰۰۱$ ) معنی‌دار بود، اما اثر نوع عضله (F=۰/۰۰۶,  $p=۰/۰۴۳$ ,  $\eta^2=۰/۰۰۶$ ) و اثر متقابل (F=۰/۰۰۰۱,  $p=۰/۰۹۷$ ,  $\eta^2=۰/۰۰۰۲$ ) آن ها معنی‌دار نبود (شکل ۳).



شکل ۳. مقایسه تاثیر متقابل شدت تمرین و نوع عضله بر بیان زن miR-23، MuRF و آتروژین-۱ بین دو عضله نعلی و خم گشته بلند شست در گروههای مختلف پس از مداخله

دیگران (۲۰۱۷) تاثیر پنج هفته HIIT بر بیان زن‌های miR-23a و آتروژین-۱ عضله دو قلوی رت‌های صحرایی را بررسی کرده و همسو با یافته‌های مطالعه حاضر افزایش معنی دار miR-23a و کاهش معنی دار آتروژین-۱ را گزارش نموده‌اند. وادا و همکاران (۲۰۱۱) نشان دادند miR-23 ترجمه MAFbx از آتروژین-۱ و یا MuRF را سرکوب می‌کند (وادا<sup>۳</sup> و دیگران، ۲۰۱۱).

آتروژین-۱ و MuRF به عنوان دو عامل شناخته شده واقع در پایین دست بسیاری از مسیرهای سیگنالینگ آتروفی عضلانی معرفی شده‌اند. مطالعات بسیاری در مورد نقش آتروژین-۱ و MURF در فرآیند آتروفی عضلانی به دلیل ناهنجاری‌های مختلف پاتولوژیک و فیزیولوژیک انجام شده و اثربخشی این دو زن در مسیرهای مختلف سیگنالینگ که در نهایت منجر به آتروفی عضلات اسکلتی می‌شود، تایید گردیده است. با توجه به پیشینه مطالعات انجام شده، بیان

مشاهده می‌شوند (مورو<sup>۱</sup> و دیگران، ۲۰۲۰). با توجه به نتایج به دست آمده از تحقیق حاضر، بیان زن‌های MuRF و آتروژین-۱ و miR-23a در هر دو عضله کند و تند انقباض تغییری نداشت. مورو و دیگران (۲۰۲۰) نشان داده اند که پس از ۱۲ هفته تمرین مقاومتی، نسبت تارهای نوع II افزایش می‌یابد. عدم تفاوت در بیان زن‌ها در تارهای نوع کند و تند احتمالاً به دلیل آن است که تارهای تند انقباض در اثر تمرینات مقاومتی، افزایش یافته‌اند. در مطالعه‌ای لین و دیگران (۲۰۰۹) نشان داده اند که بیان بیش از حد miR-23a از آتروفی عضلات جلوگیری می‌کند (لین<sup>۲</sup> و دیگران، ۲۰۰۹). در پژوهشی طبی و دیگران (۲۰۱۹) اثر شش هفته تمرین HIIT بر بیان miR-23 و عوامل درگیر در آتروفی عضلانی در رت‌های سالمند بررسی کرده و به ترتیب افزایش و کاهش معنی دار miR-23 و آتروژین-۱ را گزارش کرده‌اند. همچنین خرم شاهی و

تأثیر ورزش قرار می‌گیرند (طیبی و دیگران، ۲۰۱۹). در کل نوع و شدت تمرین، می‌تواند تغییرات ایجاد کند که به دخالت سایر مسیرهای سیگنالینگ نسبت داده می‌شود، و احتمالاً این تغییرات، نقش موثری در پیوی دارد. برای حمایت از این نظریه می‌توان به مطالعات دیگر مراجعه کرد (طیبی و دیگران، ۲۰۱۹).

**نتیجه‌گیری:** بر اساس نتایج مطالعه حاضر، بیان زن miR-23 به عنوان عامل بالادستی سیگنالینگ آتروفی عضلات در دو عضله FHL پا و نعلی رتهای سالمند افزایش یافت و بر عکس، بیان آتروژین-۱ و MuRF کاهش پیدا کرد. با توجه به این که، کاهش miR-23 و افزایش آتروژین-۱ و MuRF، هر دو منجر به از بین رفتن بیشتر عضلات اسکلتی به دلیل پیری می‌شوند تمرین مقاومتی می‌تواند انتخاب مناسبی جهت معکوس کردن این روندها باشد. بر این اساس، افراد سالمند می‌توانند برای کنترل و تعدیل آتروفی، از تمرینات مقاومتی با دو شدت بالا و متوسط استفاده نمایند.

#### تعارض منافع

تضاد منافعی بین نویسندهای گزارش نشده است.

#### قدرتمندی و تشکر

بدین وسیله از پژوهشگاه علوم ورزشی و تربیت بدنی که در اجرای این پژوهش همکاری و مساعدت داشتند، سپاسگزاری می‌شود.

بیش از حد MuRF باعث انحطاط فیبرهای عضلانی شده و تولید ذرات اکسیژن واکنشی (ROS) میتوکندری را افزایش می‌دهد (گومز<sup>۱</sup> و دیگران، ۲۰۱۲). علاوه بر این، کمبود کلسیم با فعال کردن مسیرهای آپوپتوزیس و اختلال در عملکرد میتوکندری، عملکرد عصب را مختل می‌کند، روندی که منجر به کاهش توده عضلانی اسکلتی می‌شود (تیوز، ۲۰۰۲). از طرف دیگر، تمرین ورزشی به طور مستقیم بر عوامل آتروفیک ناشی از پیری تأثیر می‌گذارد، به گونه‌ای که باعث کاهش اثربخشی آنها می‌شود. به عنوان مثال، عامل تومور نکروزی آلفا (TNF-α) (بیان آتروژین-۱ و MAFbx) و MuRF را در عضلات اسکلتی افزایش می‌دهد و ورزش می‌تواند آن را از طریق مسیرهای پروتئین کیناز فعال با میتوژن P38<sup>۲</sup> (MAPK) و عامل هسته ای کاپا بی<sup>۳</sup> (NFKB) تعدیل کند (لی<sup>۴</sup> و دیگران، ۵۰۰۲). التهاب یکی از مکانیسم‌های دخیل در آتروفی عضلات در دوران پیری است که ناشی از آتروژین-۱ و MuRF می‌باشد. فرض بر این است که تمرینات ورزشی با اثرات ضد التهابی از جمله تقویت ظرفیت آنتی اکسیدانی می‌توانند بر آبشار آتروفی (TNF-α) تأثیر بگذارد. همچنین می‌توانند از افزایش بیان پروتئازوم‌های عضلانی ناشی از ROS جلوگیری کند (لی و دیگران، ۵۰۰۲). بنابراین، می‌توان ادعا کرد که آتروژین-۱ و عوامل پایین دستی بسیاری از مسیرهای آتروفیک MuRF هستند که تحت Foxo-1، Akt/mTOR، TNF-α، IGF-1/Akt

#### منابع

- Bodine, S.C., Latres, E., Baumhueter, S., Lai, V.K.-M., Nunez, L., Clarke, B.A., ... & Pan, Z.Q. (2001). Identification of ubiquitin ligases required for skeletal muscle atrophy. *Science*, 294(5547), 1704-8.
- Burd, N.A., Gorissen, S.H., & van Loon, L.J. (2013). Anabolic resistance of muscle protein synthesis with aging. *Exercise and Sport Sciences Reviews*, 41(3), 169-73.
- Cartee, G.D., Hepple, R.T., Bamman, M.M., & Zierath, J.R. (2016). Exercise promotes healthy aging of skeletal muscle. *Cell Metabolism*, 23(6), 1034-47.
- de Cássia Marqueti, R., Almeida, J.A., Nakagaki, W.R., Guzzoni, V., Boghi, F., Renner, A., ... & Selistre-de-Araújo, H.S. (2017). Resistance training minimizes the biomechanical effects of aging in three different rat tendons. *Journal of Biomechanics*, 53, 29-35.
- Ebert, S.M., Al-Zougli, A., Bodine, S.C., & Adams, C.M. (2019). Skeletal muscle atrophy: discovery of mechanisms and potential therapies. *Physiology*, 34(4), 232-9.
- Furlanetto, J.R.R., de Paula Souza, A., de Oliveira, A.A., Nunes, P.R.P., Michelin, M.A., Chica, J.E.L., ... & Orsatti, F.L. (2016). Acute resistance exercise reduces increased gene expression in muscle atrophy of ovariectomised arthritic rats. *Przeglad Menopausalny Menopause Review*, 15(4), 193-201.

- Ghadimi Ilkhanlar, H., Noorshahi, M., Gharakhanlou, R., & Khodagholi, F. (2015). The effect of 8 weeks of resistance training on the amount of neurotropin in fast-twitch muscles and slow contraction of elderly wistar rats. *Journal of Applied Exercise Physiology (JAEP)*, 20(10), 129-138. [In Persian]
- Gomes, A.V., Waddell, D.S., Siu, R., Stein, M., Dewey, S., Furlow, J.D., & Bodine, S.C. (2012). Upregulation of proteasome activity in muscle RING finger 1-null mice following denervation. *The FASEB Journal*, 26(7), 2986-2999.
- Khoramshahi, S.H., Kordi, M.R., Delfan, M., Gaeini, A.A., & Safa, M. (2017). Effect of five weeks of high-Intensity Interval training on the expression of miR-23a and Atrogin-1 in Gastrocnemius muscles of diabetic male rats. *Iranian Journal of Endocrinology and Metabolism*, 18(5), 361-367. [In Persian]
- Krug, A.L., Macedo, A.G., Zago, A.S., Rush, J.W., Santos, C.F., & Amaral, S.L. (2016). High-intensity resistance training attenuates dexamethasone-induced muscle atrophy. *Muscle & Nerve*, 53(5), 779-788.
- Lavin, K.M., Roberts, B.M., Fry, C.S., Moro, T., Rasmussen, B.B., & Bamman, M.M. (2019). The importance of resistance exercise training to combat neuromuscular aging. *Physiology*, 4(2), 112-22.
- Lexell, J., Taylor, C.C., & Sjöström, M. (1988). What is the cause of the ageing atrophy?: Total number, size and proportion of different fiber types studied in whole vastus lateralis muscle from 15-to 83-year-old men. *Journal of the Neurological Sciences*, 84(2-3), 275-294.
- Li, Y.P., Chen, Y., John, J., Moylan, J., Jin, B., Mann, D.L., & Reid, M.B. (2005). TNF- $\alpha$  acts via p38 MAPK to stimulate expression of the ubiquitin ligase atrogin1/MAFbx in skeletal muscle. *The FASEB Journal*, 19(3), 362-370.
- Lin, Z., Murtaza, I., Wang, K., Jiao, J., Gao, J., & Li, P.F. (2009). miR-23a functions downstream of NFATc3 to regulate cardiac hypertrophy. *Proceedings of the National Academy of Sciences*, 106(29), 12103-12108.
- Macedo, A.G., Krug, A.L., Herrera, N.A., Zago, A.S., Rush, J.W., & Amaral, S.L. (2014). Low-intensity resistance training attenuates dexamethasone-induced atrophy in the flexor hallucis longus muscle. *The Journal of Steroid Biochemistry and Molecular Biology*, 143, 357-364.
- Miljkovic, N., Lim, J-Y., Miljkovic, I., & Frontera, W.R. ( 2015). Aging of skeletal muscle fibers. *Annals of Rehabilitation Medicine*, 39(2), 155-162.
- Moradi, Y., Zebsaz, F., & Nourazar, M.A. ( 2020). Concurrent exercise training and MuRF-1 and Atrogin-1 gene expression in the vastus lateralis muscle of male Wistar rats. *Apunts Sports Medicine*, 55(205), 21-7.
- Moriscot, A.S., Baptista, I.L., Bogomolovas, J., Witt, C., Hirner, S., Granzier, H., & Labeit, S. (2010). MuRF1 is a muscle fiber-type II associated factor and together with MuRF2 regulates type-II fiber trophicity and maintenance. *Journal of Structural Biology*, 170(2), 344-53.
- Moro, T., Brightwell, C.R., Volpi, E., Rasmussen, B.B., & Fry, C.S. (2020). Resistance exercise training promotes fiber type-specific myonuclear adaptations in older adults. *Journal of Applied Physiology*, 128(4), 795-804.
- Narici, M.V., & Maffulli, N. (2010). Sarcopenia: characteristics, mechanisms and functional significance. *British Medical Bulletin*, 95(1), 139-59.
- Perry, B.D., Caldow, M.K., Brennan-Speranza, T.C., Sbaraglia, M., Jerums, G., Garnham, A., ... & Price, S.R. (2016). Muscle atrophy in patients with Type 2 Diabetes Mellitus: roles of inflammatory pathways, physical activity and exercise. *Exercise Immunology Review*, 22, 94.
- Reed, S.A., Sandesara, P.B., Senf, S.M., & Judge, A.R. (2012). Inhibition of Foxo transcriptional activity prevents muscle fiber atrophy during cachexia and induces hypertrophy. *The FASEB Journal*, 26(3), 987-1000.

- Ribeiro, M.B.T., Guzzoni, V., Hord, J.M., Lopes, G.N., de Cássia Marqueti, R., de Andrade, R.V., ... & Durigan, J.L. (2017). Resistance training regulates gene expression of molecules associated with intramyocellular lipids, glucose signaling and fiber size in old rats. *Scientific Reports*, 7(1), 1-13.
- Singulani, M.P., Stringhetta-Garcia, C.T., Santos, L.F., Morais, S.R.L., Louzada, M.J.Q., Oliveira, S.H.P., ... & Dornelles, R.C. (2017). Effects of strength training on osteogenic differentiation and bone strength in aging female Wistar rats. *Scientific Reports*, 7, 42878.
- Tanaka, S., Obatake, T., Hoshino, K., & Nakagawa, T. (2015) Influence of exercise intensity on atrophied quadriceps muscle in the rat. *Journal of Physical Therapy Science*, 27(11), 3445-50.
- Tayebi, S.M., Siahkouhian, M., Keshavarz, M., Mahdian, R., Shamsi, M.M., & Shahbazi, S. (2019). The effects of high intensity interval training on Mir-23a expression and related factors involved in muscular atrophy of aged rats. *International Journal of Applied Exercise Physiology*, 8(1), 170-176.
- Tews, D.S. (2002). Apoptosis and muscle fibre loss in neuromuscular disorders. *Neuromuscular Disorders*, 12(7-8), 613-622.
- Wang, Y., & Pessin, J.E. (2013). Mechanisms for fiber-type specificity of skeletal muscle atrophy. *Current Opinion in Clinical Nutrition and Metabolic Care*, 16(3), 243.
- Wang, X.H. (2013). MicroRNA in myogenesis and muscle atrophy. *Current Opinion in Clinical Nutrition and Metabolic Care*, 16(3), 258.
- Wada, S., Kato, Y., Okutsu, M., Miyaki, S., Suzuki, K., Yan, Z., Schiaffino, S., Asahara, H., Ushida, T., & Akimoto, T. (2011). Translational suppression of atrophic regulators by microRNA-23a integrates resistance to skeletal muscle atrophy. *Journal of Biological Chemistry*, 286(44), 38456-65.